



Lezione 15

Crosstalk nel Dominio del Tempo

Giuseppe Pelosi - Stefano Selleri
Dipartimento di Elettronica e Telecomunicazioni
Università di Firenze



Sommario della Lezione

- ❖ Introduzione
- ❖ Ritorno al Dominio del Tempo
- ❖ Esempio
- ❖ Circuito Equivalente



Introduzione

Abbiamo visto il modello induttivo-capacitivo nel dominio della frequenza

$$V_{NE}(\omega) = j\omega M_{NE} V_S(\omega)$$

$$V_{FE}(\omega) = j\omega M_{FE} V_S(\omega)$$

Con

$$V_{NE} = \underbrace{\frac{R_{NE}}{R_{NE} + R_{FE}} \frac{L_M}{R_S + R_L}}_{M_{NE}^{IND}} + \underbrace{\frac{R_{NE} R_{FE}}{R_{NE} + R_{FE}} \frac{C_M R_L}{R_S + R_L}}_{M_{NE}^{CAP}}$$
$$V_{FE} = - \underbrace{\frac{R_{FE}}{R_{NE} + R_{FE}} \frac{L_M}{R_S + R_L}}_{M_{FE}^{IND}} + \underbrace{\frac{R_{NE} R_{FE}}{R_{NE} + R_{FE}} \frac{C_M R_L}{R_S + R_L}}_{M_{FE}^{CAP}}$$



Ritorno al Dominio del Tempo

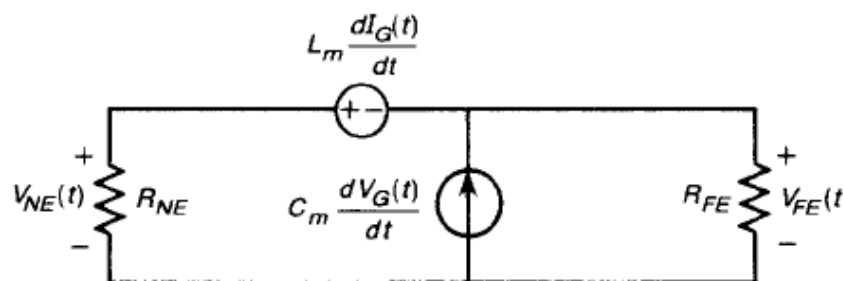
Il collegamento dominio del tempo – dominio della frequenza è

$$j\omega \leftrightarrow \frac{d}{dt}$$

Per cui

$$V_{NE}(t) = M_{NE} \frac{dV_S(t)}{dt}$$

$$V_{FE}(t) = M_{FE} \frac{dV_S(t)}{dt}$$

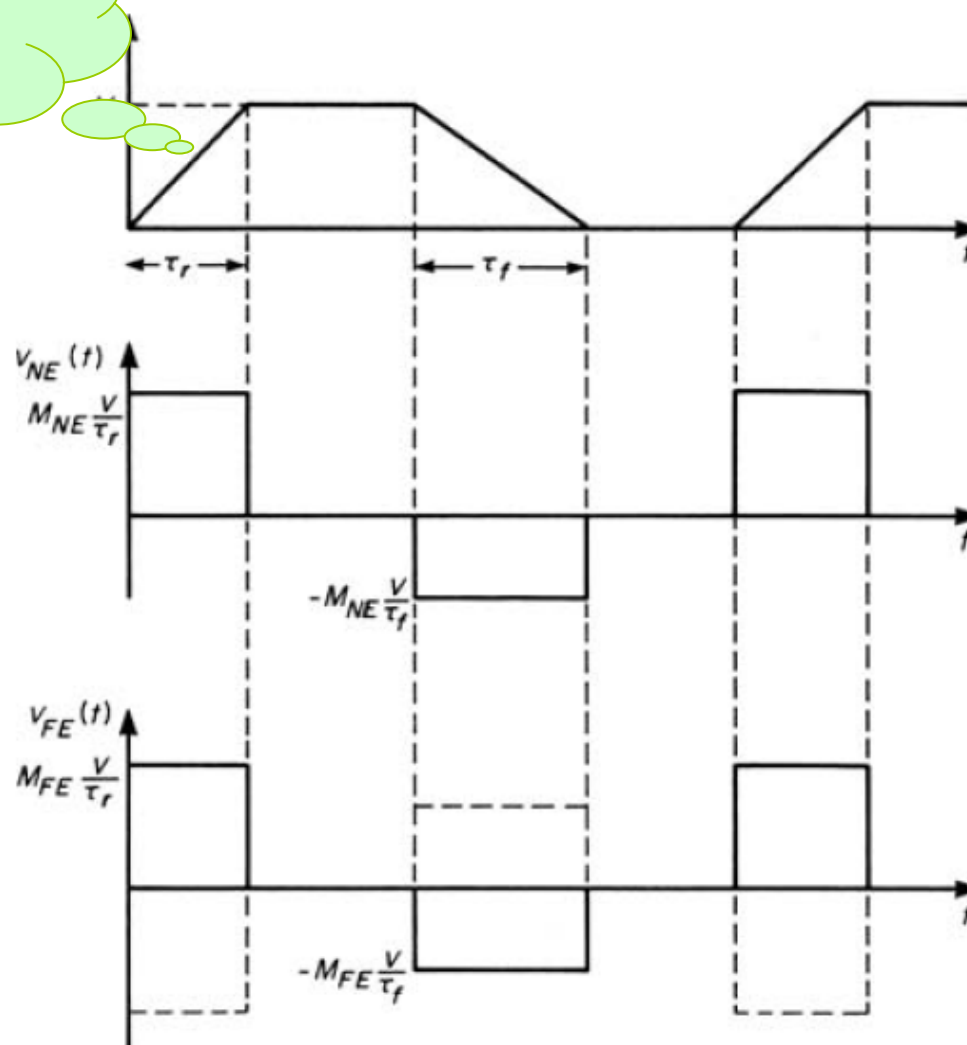


È interessante notare come la funzione di trasferimento dell'accoppiamento debole colleghi le tensioni di near end e di far end alla derivata temporale della tensione del segnale.



Ritorno al Dominio del Tempo

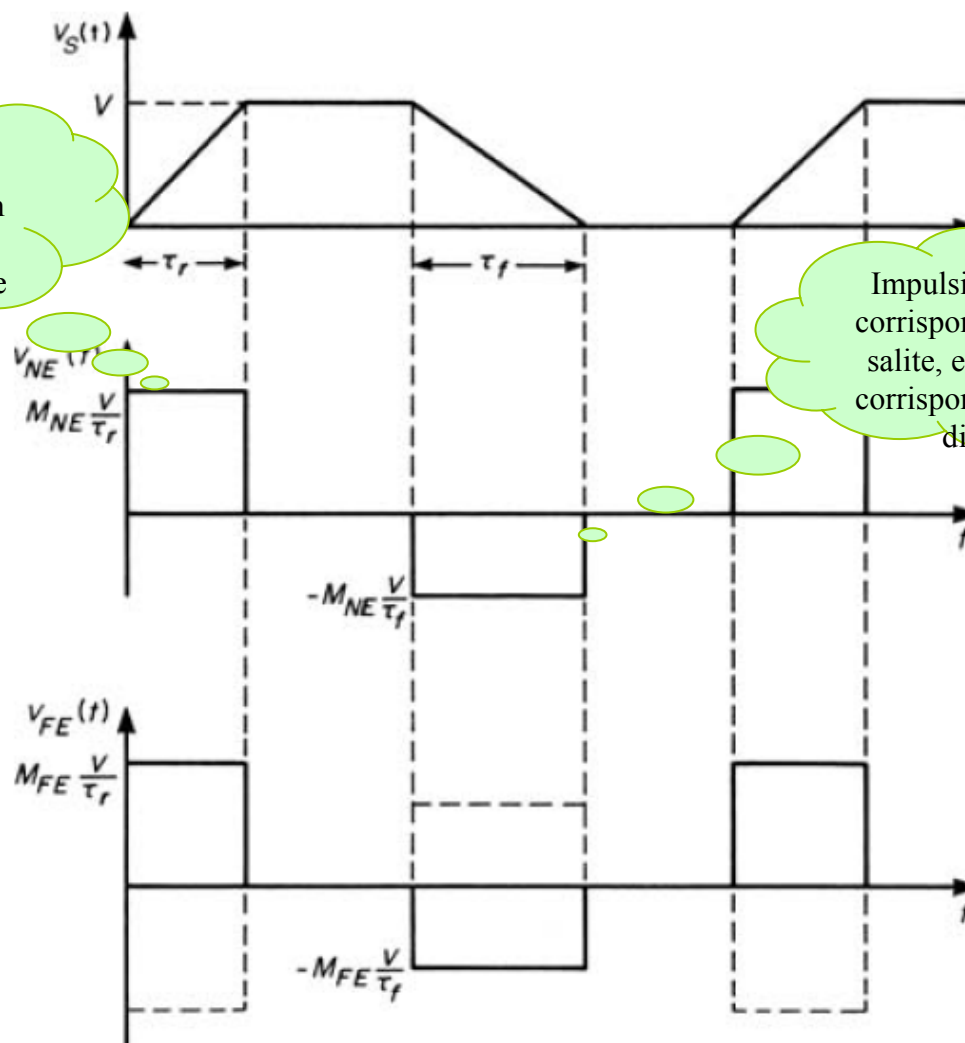
Se c'è un clock trapezoidale come segnale sulla linea generatrice...





Ritorno al Dominio del Tempo

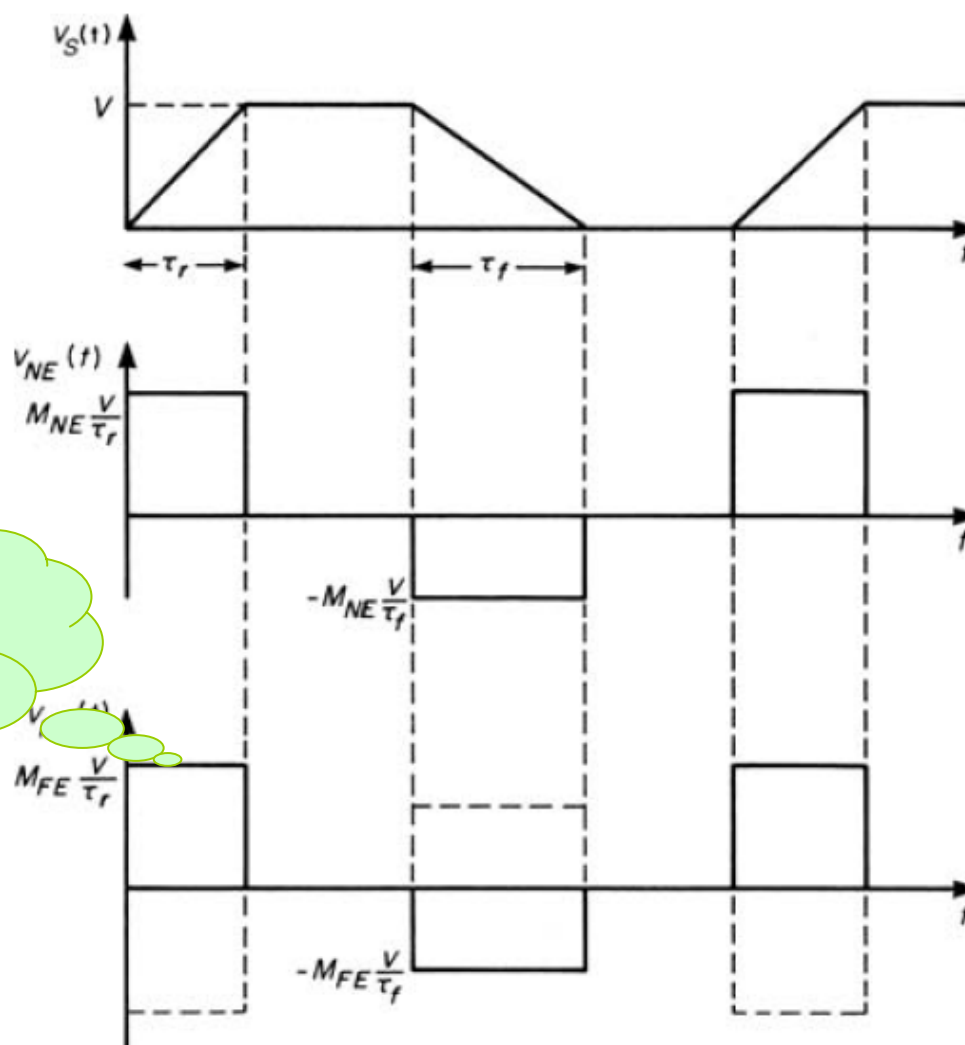
L'impulso sul recettore è presente in corrispondenza delle transizioni del segnale



Impulsi positivi in corrispondenza delle salite, e negativi in corrispondenza delle discese



Ritorno al Dominio del Tempo



Stessa cosa per il FE,
ma qui il segno
dipende da chi domina
come accoppiamento



Ritorno al Dominio del Tempo

Il limite principale di questo approccio sta nelle ipotesi di linea corta e debolmente accoppiata.

Per un clock digitale, che contiene componenti a frequenza che, in teoria, vanno da 0 a infinito con periodicità multipla del clock stesso, dipendentemente dai tempi di salita e di discesa, ne segue che:

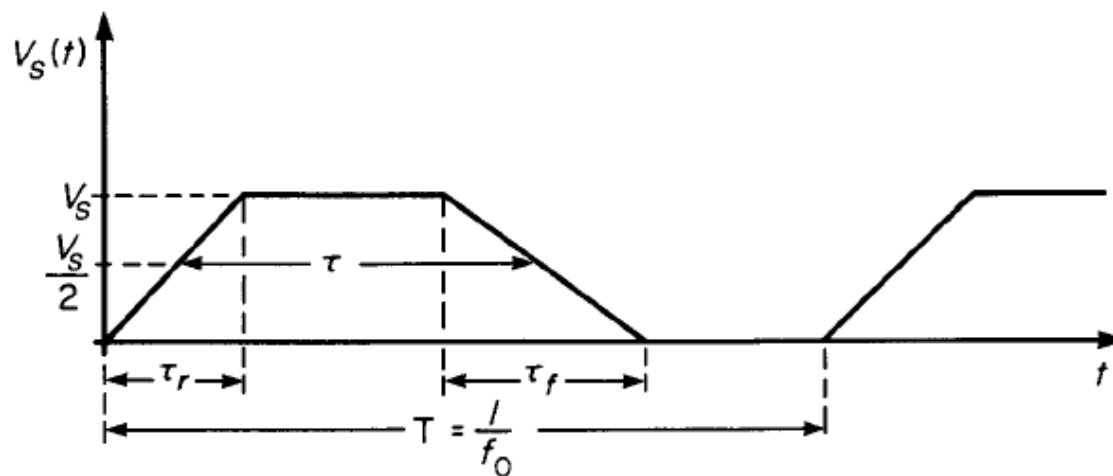
Il modello induttivo-capacitivo tratta correttamente solo quella parte dello spettro del segnale le cui frequenze consentono di considerare la linea corta

Per poter comprendere questo problema andiamo ad analizzare la composizione spettrale di un clock trapezoidale.



Ritorno al Dominio del Tempo

Sia dato

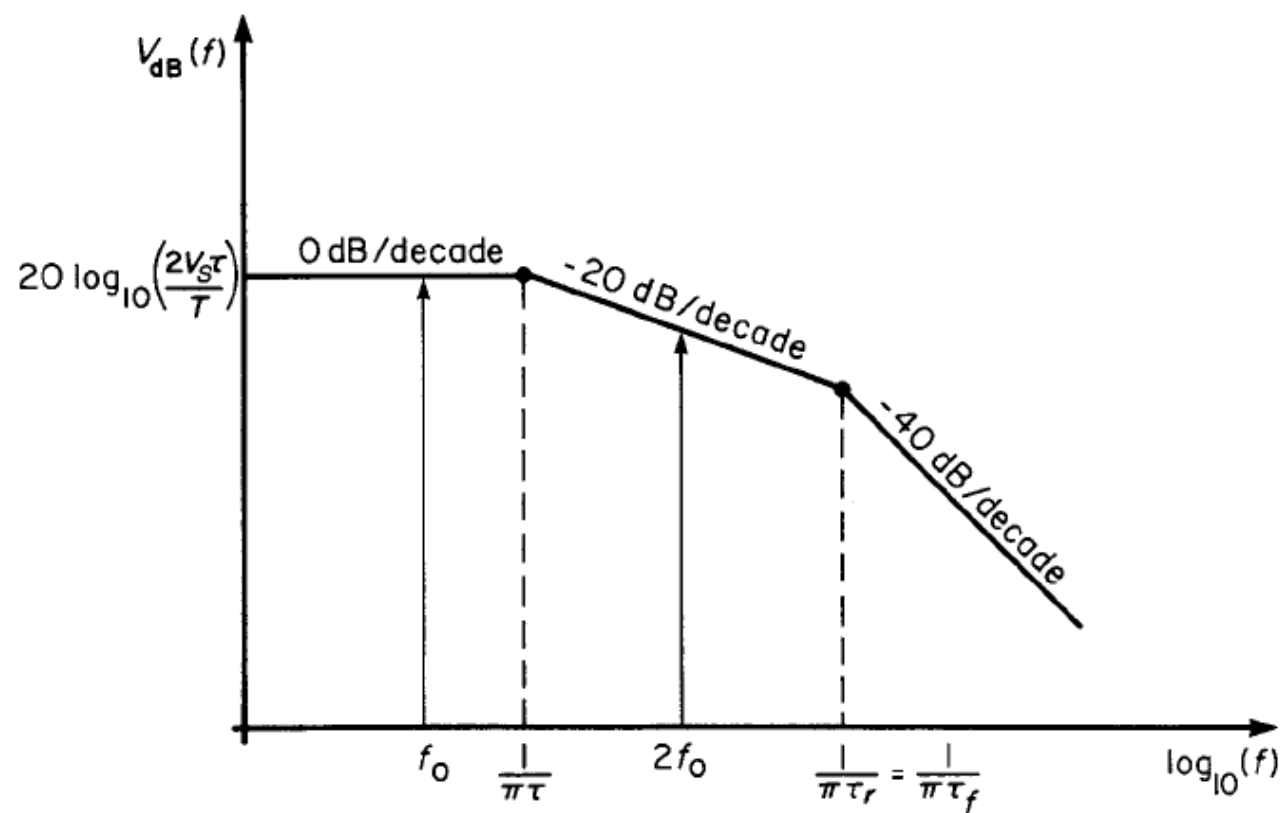


Il suo spettro è discreto ed è stato discusso in precedenza. Si tratta del campionamento dello spettro continuo del singolo impulso il cui inviluppo è



Ritorno al Dominio del Tempo

Se i tempi di salita e discesa sono uguali...





Ritorno al Dominio del Tempo

La frequenza ‘fondamentale’ è

$$f_0 = \frac{1}{T}$$

Per stimare lo spettro abbiamo riconosciuto come

$$f_u = \frac{1}{\tau_r} = \frac{1}{\tau_f}$$

Sia una stima accettabile per l’occupazione di banda del segnale.

Quindi

$$L \ll \lambda|_{f=f_u}$$



Ritorno al Dominio del Tempo

Si ottiene quindi

$$\tau_r = \tau_f \gg T_D$$

Avendo definito

$$T_D = \frac{L}{c}$$

Per quantificare correttamente il concetto di molto maggiore (o minore) possiamo considerare maggiore di dieci volte (minore di un decimo) ovvero:

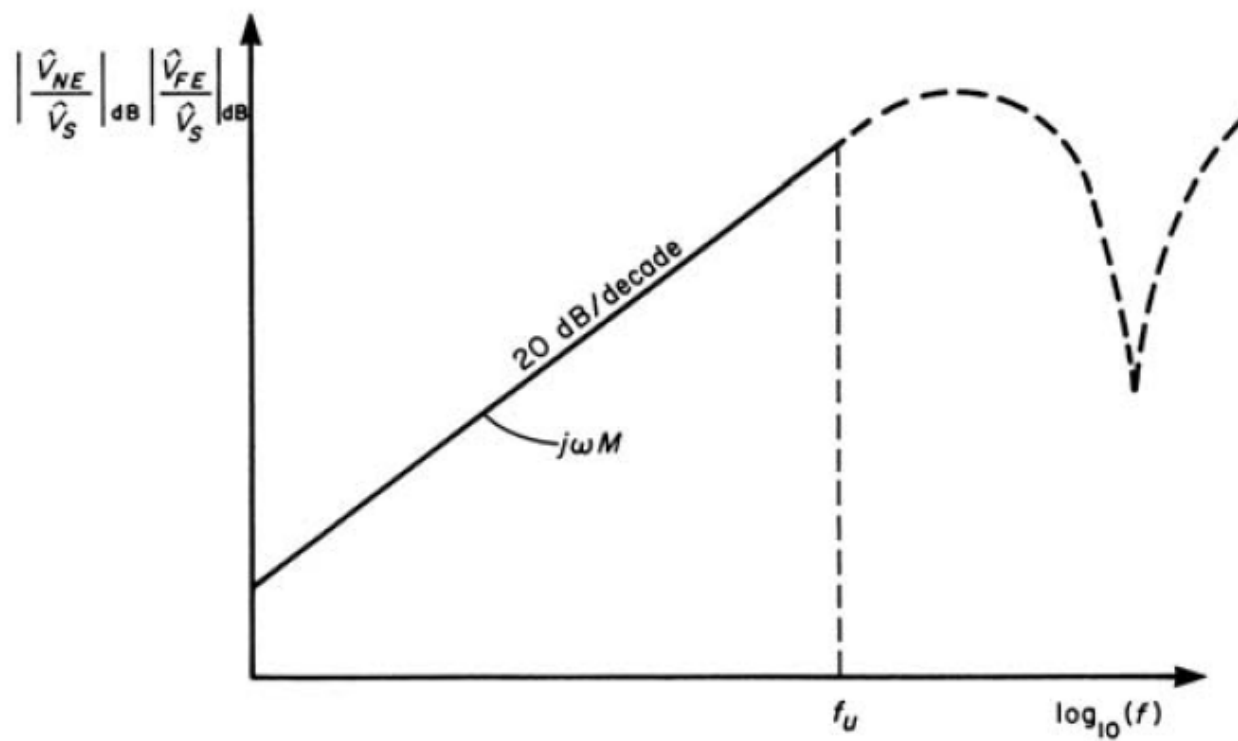
$$\tau_r = \tau_f \geq 10T_D$$

Questa è una regola euristica adeguata per stabilire l'adeguatezza del modello semplificato.



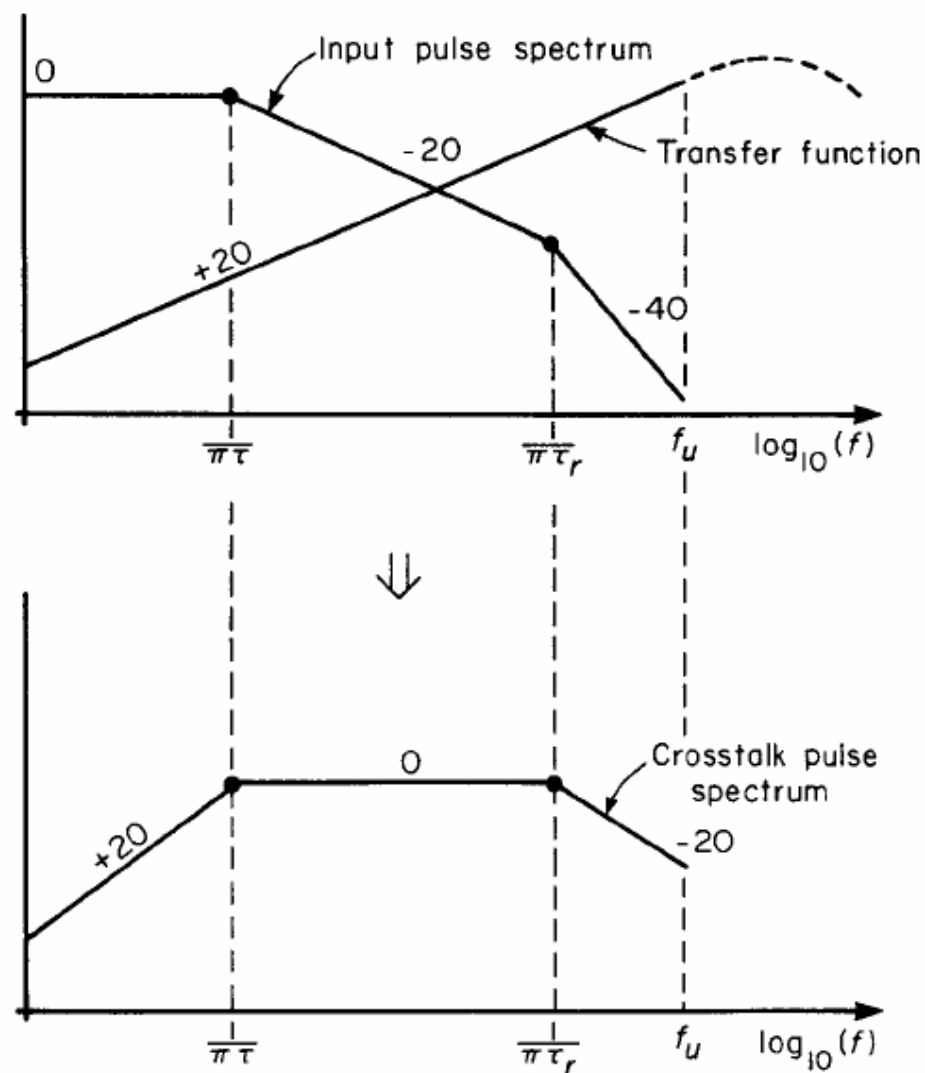
Ritorno al Dominio del Tempo

La risposta in frequenza è





Ritorno al Dominio del Tempo





Ritorno al Dominio del Tempo

E le perdite?

$$V_{NE}(t) = M_{NE} \frac{dV_S(t)}{dt} + M_{NE}^{ci} V_S(t)$$

$$V_{FE}(t) = M_{FE} \frac{dV_S(t)}{dt} + M_{FE}^{ci} V_S(t)$$

Quindi l'interpretazione è semplice

L'effetto della common impedance è quello di riportare una replica, scalata, del segnale interferente



Esempio

Riprendiamo il cavo a tre conduttori visto in precedenza. Per esso era (a 50Ω)

$$M_{NE}^{IND} = 1.14 \times 10^{-8}$$

$$M_{NE}^{CAP} = 7.44 \times 10^{-10}$$

$$M_{NE}^{ci} = 9.21 \times 10^{-3}$$

$$M_{FE}^{IND} = -1.14 \times 10^{-8}$$

$$M_{FE}^{CAP} = 7.44 \times 10^{-10}$$

$$M_{FE}^{ci} = -9.21 \times 10^{-3}$$

Consideriamo un generatore che fornisca un clock a 20kHz con un duty cycle del 50% e tempi di salita o discesa pari a 400ns

Per i curiosi questo è il tipico flusso dati di una seriale RS232. Lo so che è un po' superata e ora c'è l'USB. Quello lo vediamo l'anno prossimo eh?

Il ritardo della line è

$$T_D = \frac{L}{c} = \frac{4.737}{3 \times 10^8} = 15.8ns$$



Esempio

I limiti per il modello sono quindi

$$\tau_r = \tau_f \geq 158ns$$

E sono soddisfatti

Quindi:

$$V_{NE}(t) = 1.21 \times 10^{-8} \frac{dV_s(t)}{dt} + 9.21 \times 10^{-3} V_s(t)$$

Lo *slew rate* del treno di impulsi è

$$\left| \frac{dV_s(t)}{dt} \right| = \frac{2.5V}{400ns} = 6.25 \times 10^6 V_s^{-1}$$



Esempio

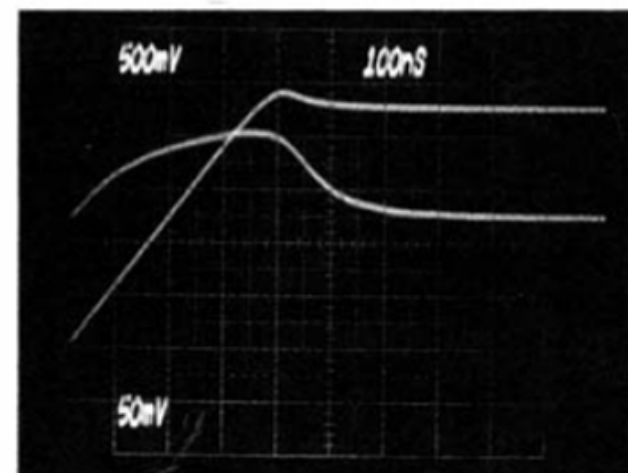
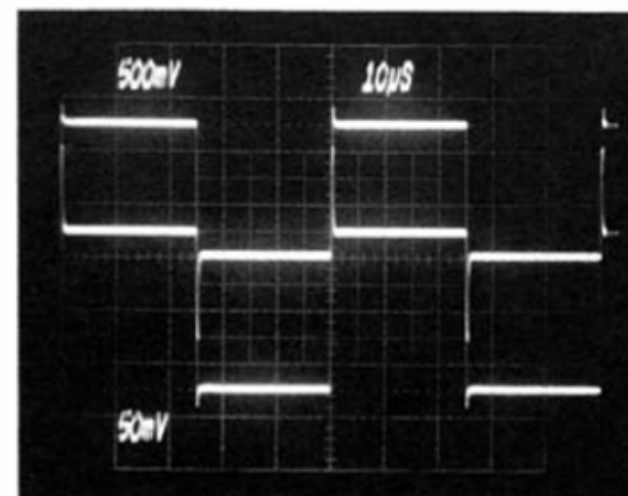
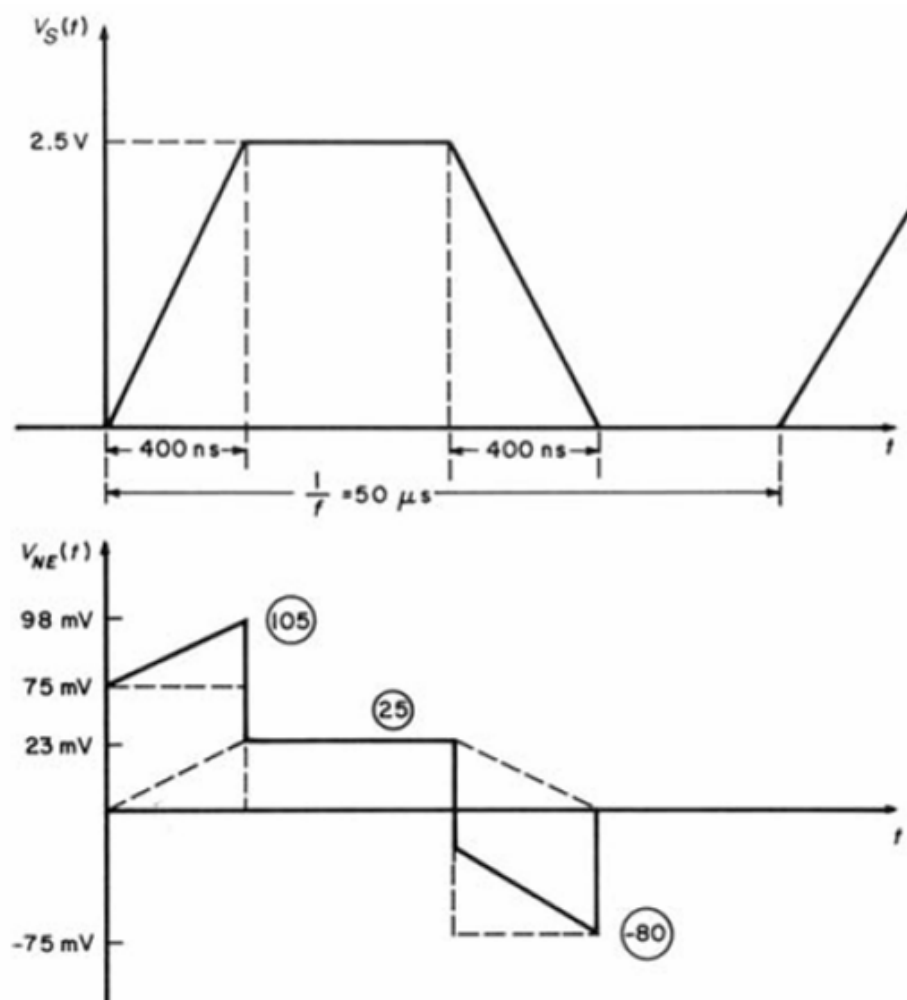
Sostituendo il risultato nell'equazione della tensione di near end si ha

$$\begin{aligned} V_{NE}(t)|_{\max} &= 1.21 \times 10^{-8} 6.25 \times 10^6 + 9.21 \times 10^{-3} 2.5 = \\ &= 7.57 \times 10^{-2} + 2.3 \times 10^{-2} \end{aligned}$$

La presenza dell'accoppiamento induttivo capacitivo genera una tensione di near end di circa 75 millivolt, le perdite un altro 23 millivolt che si riflette in un offset

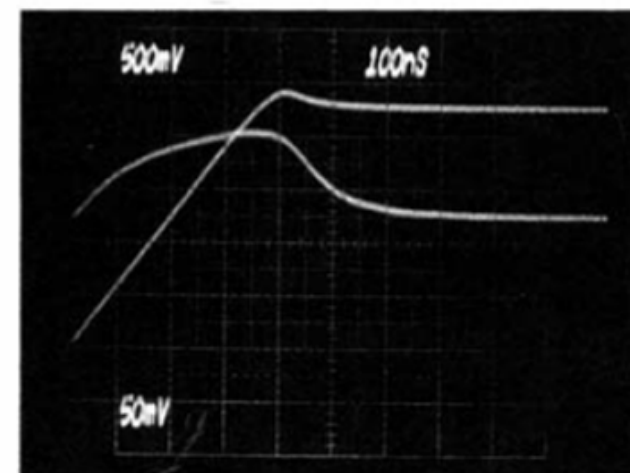
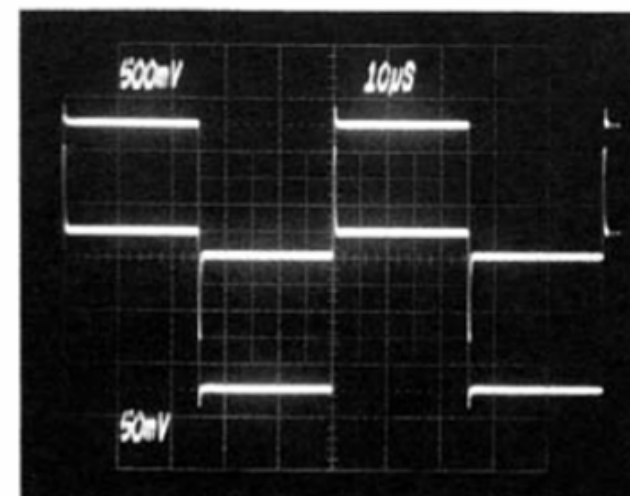
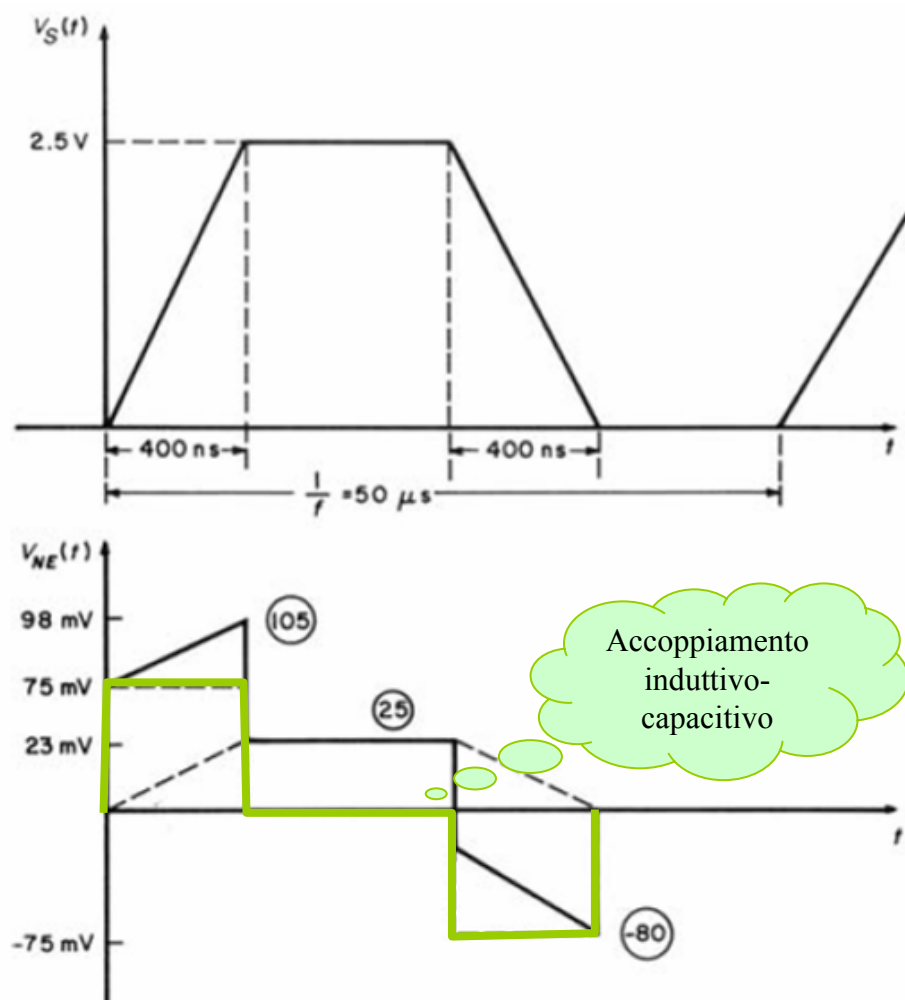


Esempio



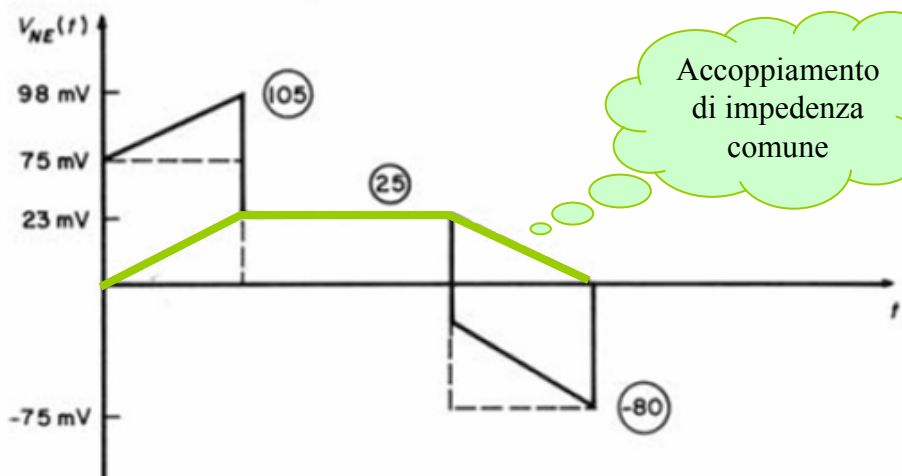
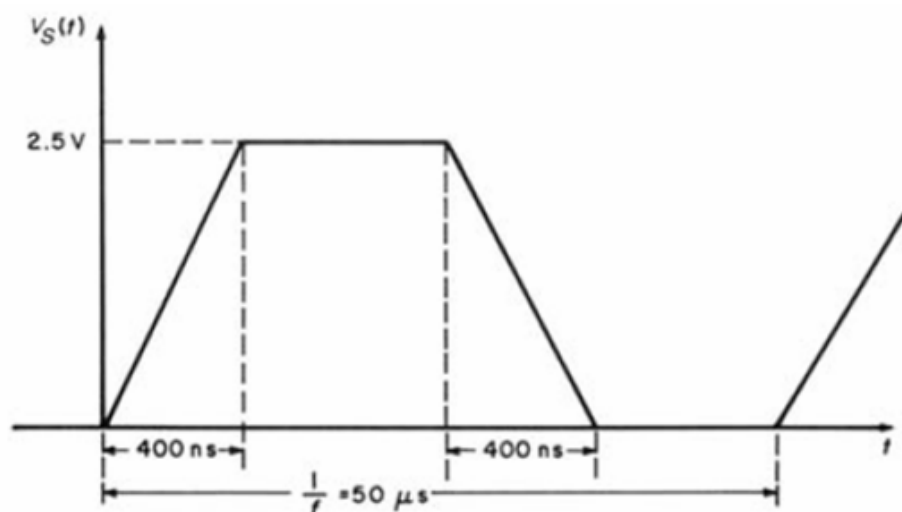


Esempio

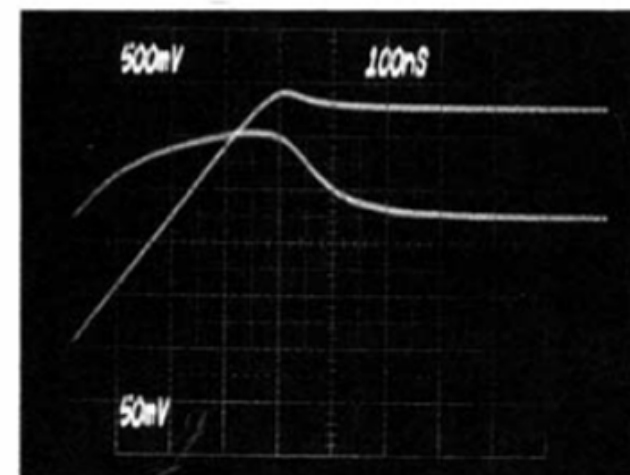
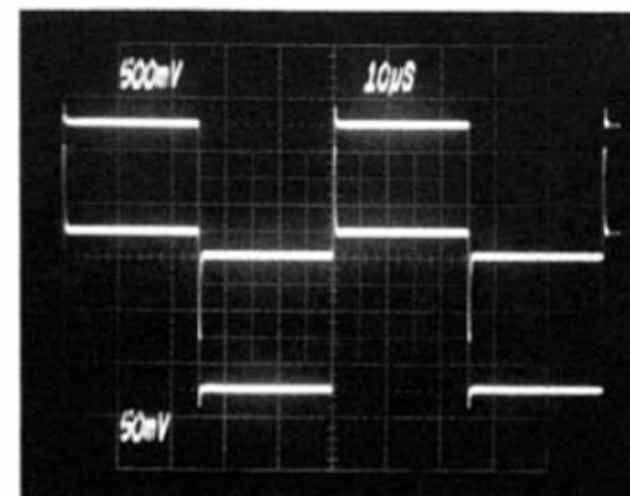




Esempio

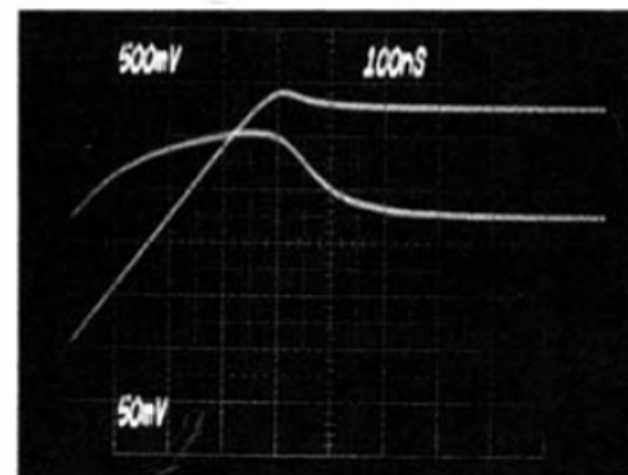
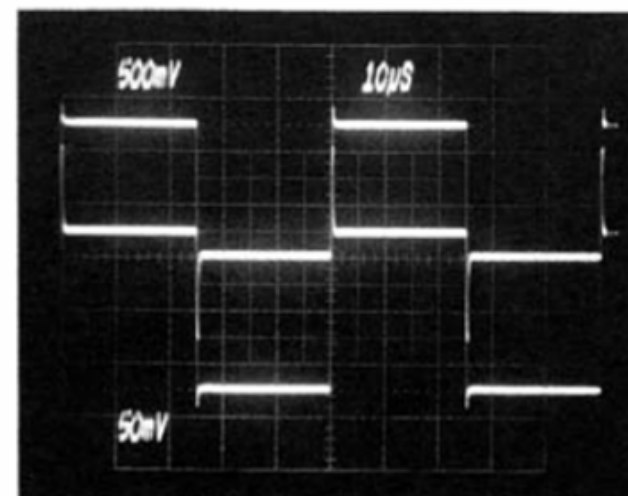
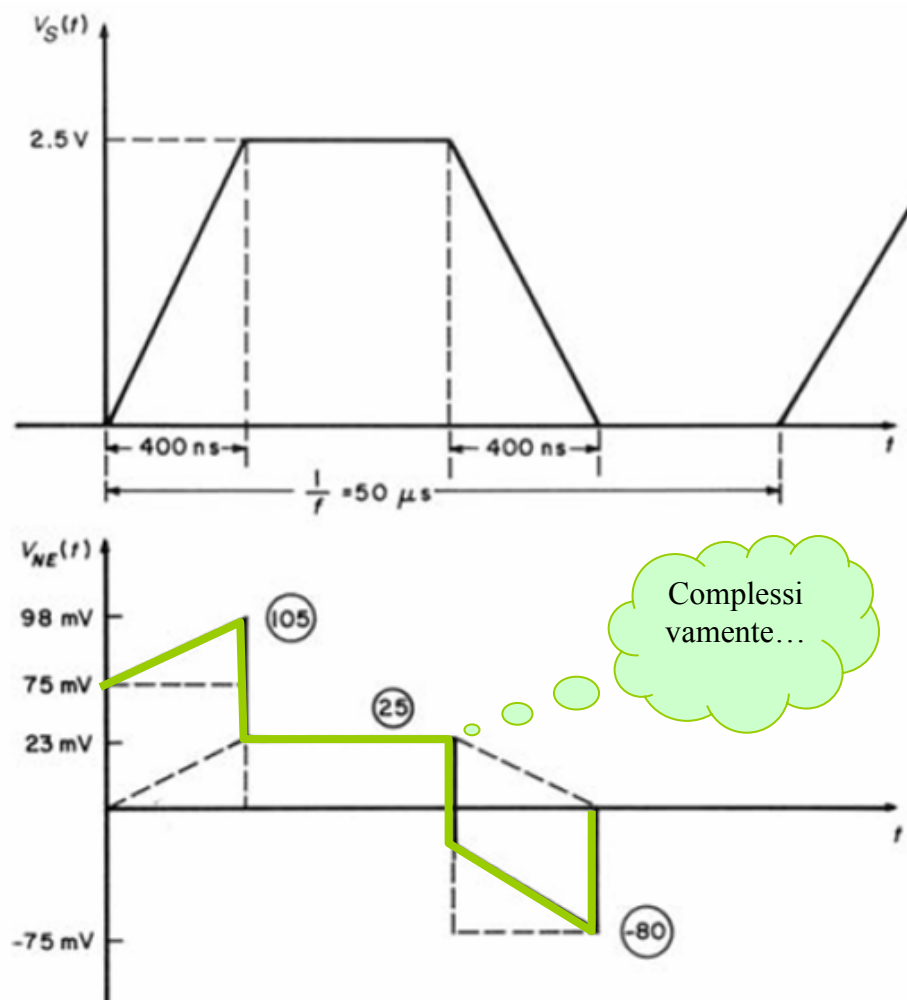


Accoppiamento
di impedenza
comune



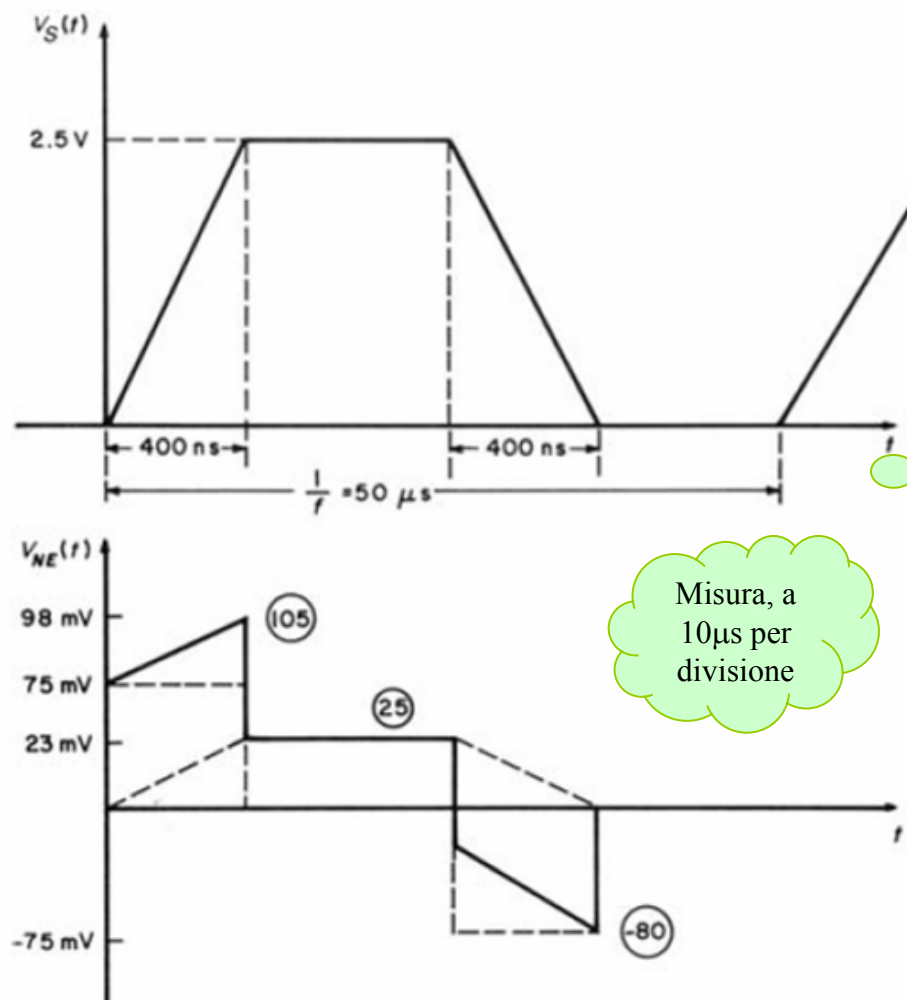


Esempio

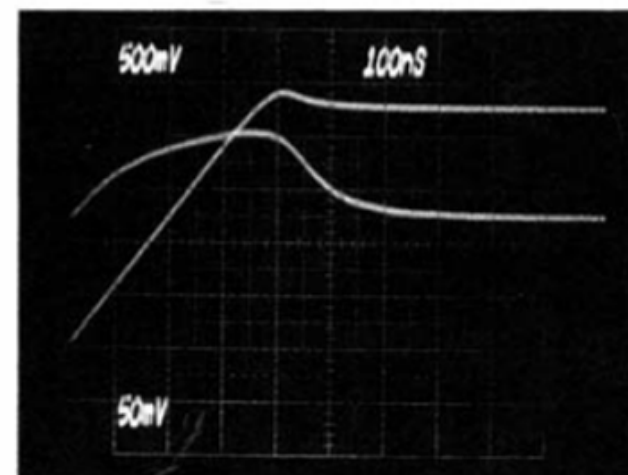
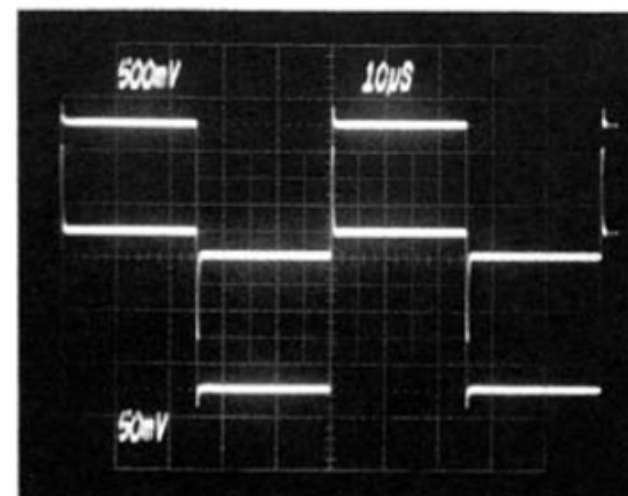




Esempio

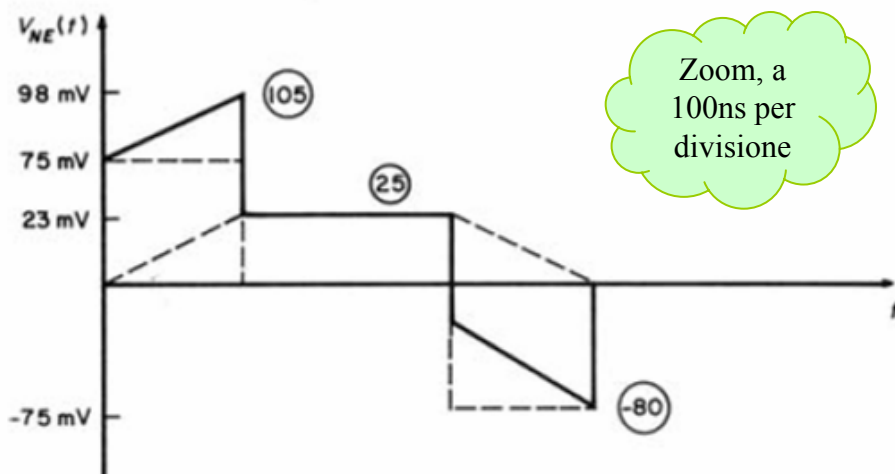
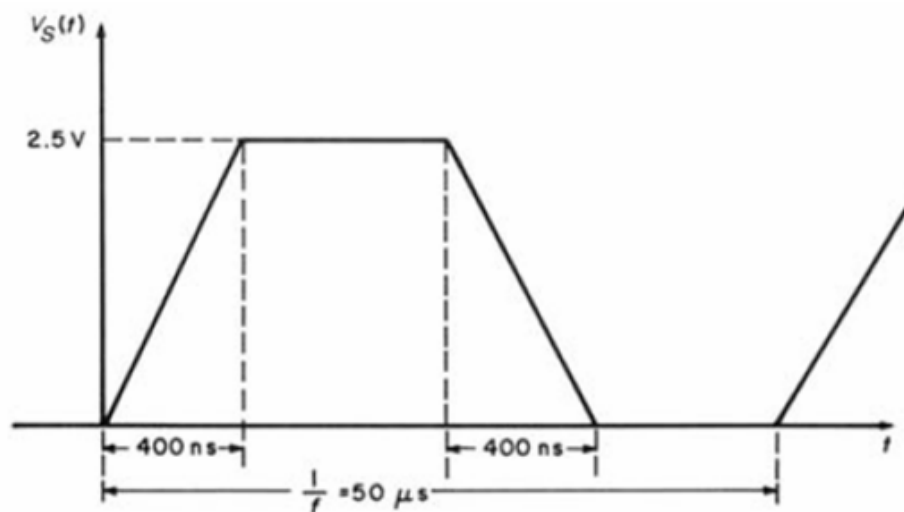


Misura, a $10 \mu s$ per divisione

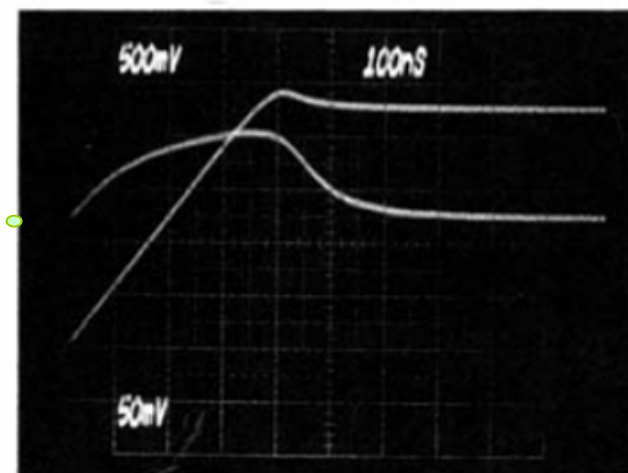
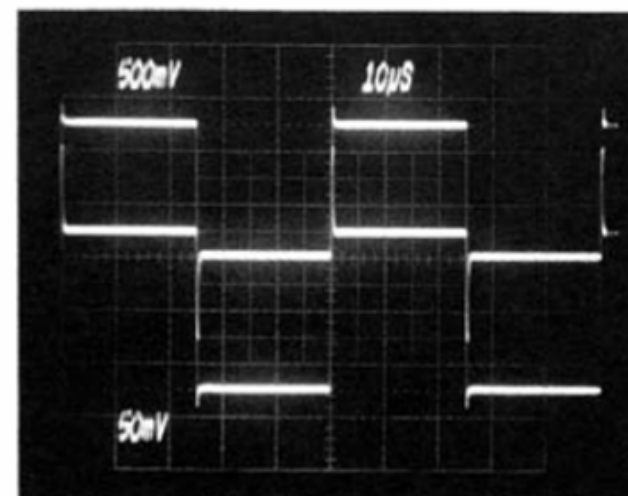




Esempio



Zoom, a
100ns per
divisione





Esempio

Riprendiamo lo stesso cavo a tre conduttori, ma per $1\text{k}\Omega$

$$M_{NE}^{IND} = 5.7 \times 10^{-10}$$

$$M_{NE}^{CAP} = 1.49 \times 10^{-8}$$

$$M_{NE}^{ci} = 4.61 \times 10^{-4}$$

$$M_{FE}^{IND} = -5.7 \times 10^{-10}$$

$$M_{FE}^{CAP} = 1.49 \times 10^{-8}$$

$$M_{FE}^{ci} = -4.61 \times 10^{-4}$$

Sostituendo il risultato nell'equazione della tensione di near end si ha

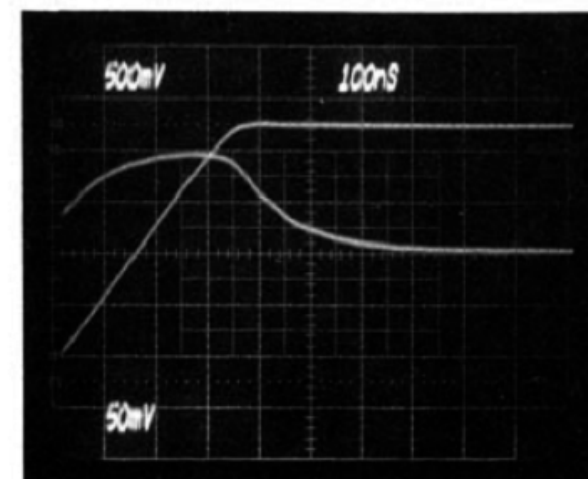
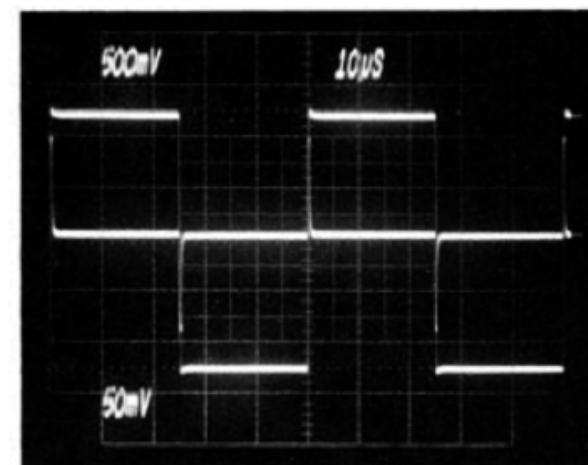
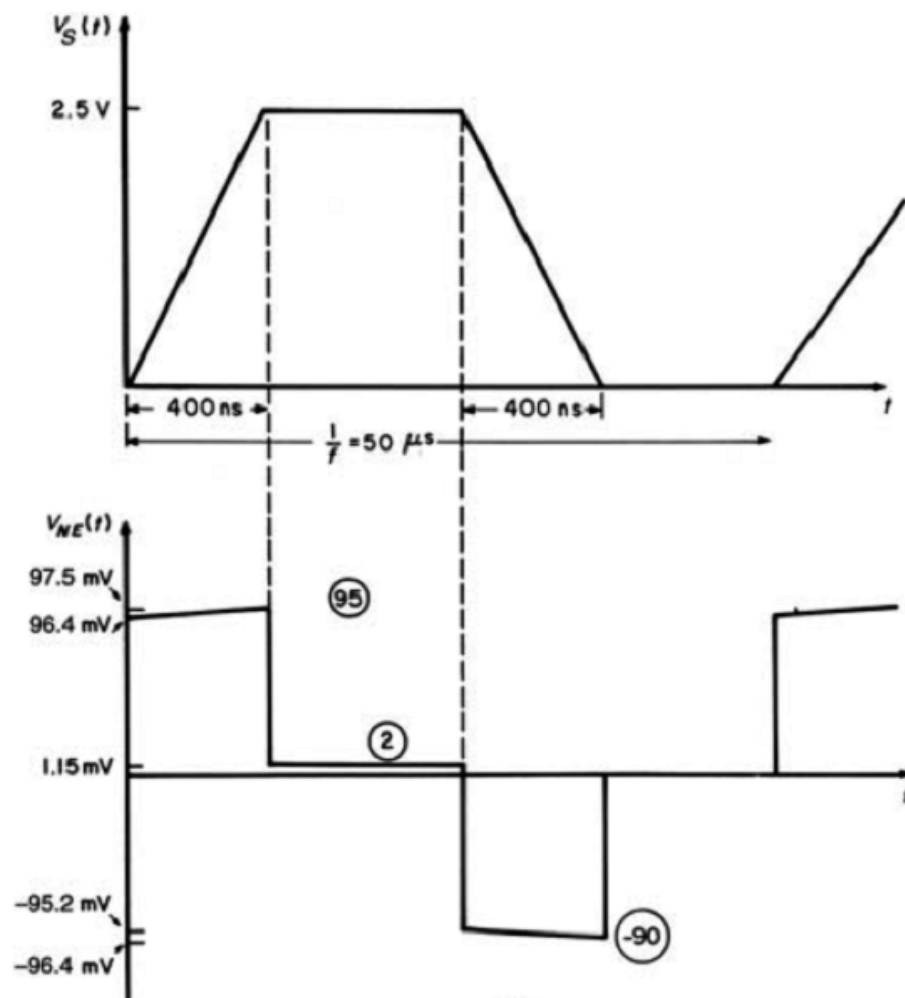
$$V_{NE}(t) = 1.54 \times 10^{-8} \frac{dV_s(t)}{dt} + 4.61 \times 10^{-4} V_s(t)$$

$$\begin{aligned} V_{NE}(t)|_{\max} &= 1.54 \times 10^{-8} 6.25 \times 10^6 + 4.61 \times 10^{-4} \times 2.5 = \\ &= 9.65 \times 10^{-2} + 1.15 \times 10^{-3} \end{aligned}$$

La presenza dell'accoppiamento induttivo capacitivo genera una tensione di near end di circa 96 millivolt, le perdite un altro 1.1 millivolt che si riflette in un offset



Esempio

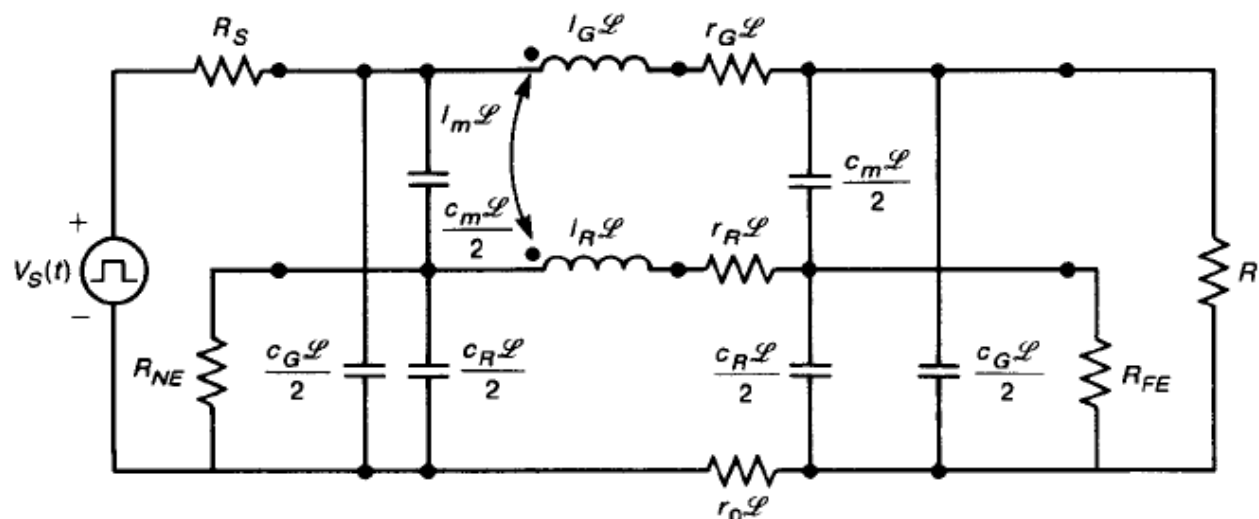




Circuito Equivalente

L'accoppiamento debole per linea corta può anche essere tradotto in un circuito equivalente a costanti concentrate per simulazione in CAD circuitali

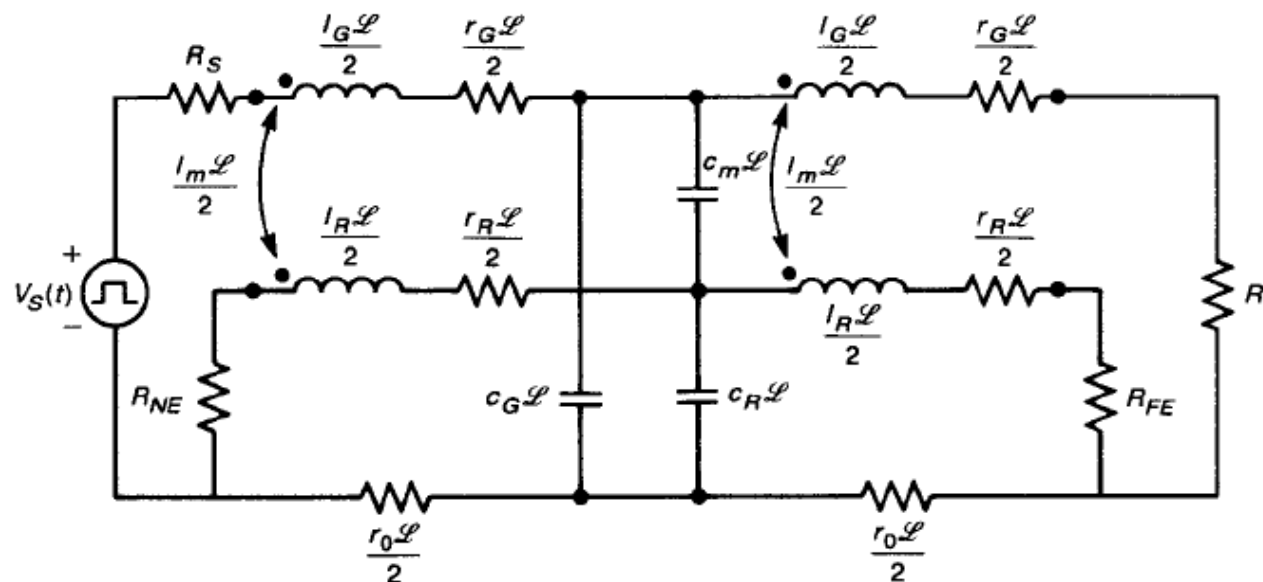
Un primo modello è una rete a π





Circuito Equivalente

Un altro è un modello a “T”





Circuito Equivalente

Infatti, per linee prive di perdite

$$\begin{cases} \frac{\partial \mathbf{V}(z,t)}{\partial z} = -\mathbf{L} \frac{\partial \mathbf{I}(z,t)}{\partial t} \\ \frac{\partial \mathbf{I}(z,t)}{\partial z} = -\mathbf{C} \frac{\partial \mathbf{V}(z,t)}{\partial t} \end{cases}$$

Con

$$\mathbf{V}(z,t) = \begin{bmatrix} V_G(z,t) \\ V_R(z,t) \end{bmatrix}; \quad \mathbf{I}(z,t) = \begin{bmatrix} I_G(z,t) \\ I_R(z,t) \end{bmatrix}$$

$$\mathbf{L} = \begin{bmatrix} L_G & L_m \\ L_m & L_R \end{bmatrix}; \quad \mathbf{C} = \begin{bmatrix} C_G + C_m & -C_m \\ -C_m & C_R + C_m \end{bmatrix}$$



Circuito Equivalente

La chiave per risolverle sta ancora una volta nel disaccoppiarle, esattamente come fatto in frequenza, introducendo delle correnti (e delle tensioni) modali

$$\mathbf{I} = \mathbf{T}_I \mathbf{I}_M$$

$$\mathbf{V} = \mathbf{T}_V \mathbf{V}_M$$

Con

$$\mathbf{V}_M(z, t) = \begin{bmatrix} V_{MG}(z, t) \\ V_{MR}(z, t) \end{bmatrix}; \quad \mathbf{I}_M(z, t) = \begin{bmatrix} I_{MG}(z, t) \\ I_{MR}(z, t) \end{bmatrix}$$

E

$$\mathbf{T}_I = \begin{bmatrix} T_{IGG} & T_{IGR} \\ T_{IRG} & T_{IRR} \end{bmatrix} \quad \mathbf{T}_V = \begin{bmatrix} T_{VGG} & T_{VGR} \\ T_{VRG} & T_{VRR} \end{bmatrix}$$



Circuito Equivalente

Si ottiene

$$\begin{cases} \frac{\partial \mathbf{T}_V \mathbf{V}_M(z,t)}{\partial z} = -\mathbf{L} \frac{\partial \mathbf{T}_I \mathbf{I}_M(z,t)}{\partial t} \\ \frac{\partial \mathbf{T}_I \mathbf{I}_M(z,t)}{\partial z} = -\mathbf{C} \frac{\partial \mathbf{T}_V \mathbf{V}_M(z,t)}{\partial t} \end{cases}$$

E cioè

$$\begin{cases} \frac{\partial \mathbf{V}_M(z,t)}{\partial z} = -\mathbf{T}_V^{-1} \mathbf{L} \mathbf{T}_I \frac{\partial \mathbf{I}_M(z,t)}{\partial t} \\ \frac{\partial \mathbf{I}_M(z,t)}{\partial z} = -\mathbf{T}_I^{-1} \mathbf{C} \mathbf{T}_V \frac{\partial \mathbf{V}_M(z,t)}{\partial t} \end{cases}$$



Circuito Equivalente

Il concetto è cercare, se esistono, le matrici che diagonalizzano *simultaneamente i due sistemi!*

Ovvero tali che

$$\mathbf{T}_V^{-1} \mathbf{L} \mathbf{T}_I = \begin{bmatrix} L_{MG} & 0 \\ 0 & L_{MR} \end{bmatrix}$$
$$\mathbf{T}_V^{-1} \mathbf{C} \mathbf{T}_V = \begin{bmatrix} C_{MG} & 0 \\ 0 & C_{MR} \end{bmatrix}$$

Se questo è possibile si ottengono i sistemi disaccoppiati

$$\left\{ \begin{array}{l} \frac{\partial V_{MG}(z,t)}{\partial z} = -L_{MG} \frac{\partial I_{MG}(z,t)}{\partial t} \\ \frac{\partial I_{MG}(z,t)}{\partial z} = -C_{MG} \frac{\partial V_{MG}(z,t)}{\partial t} \end{array} \right. \quad \left\{ \begin{array}{l} \frac{\partial V_{MR}(z,t)}{\partial z} = -L_{MR} \frac{\partial I_{MR}(z,t)}{\partial t} \\ \frac{\partial I_{MR}(z,t)}{\partial z} = -C_{MR} \frac{\partial V_{MR}(z,t)}{\partial t} \end{array} \right.$$



Circuito Equivalente

Ciascuna linea modale disaccoppiata presenta

$$Z_{CM_G} = \sqrt{\frac{L_{M_G}}{C_{M_G}}}; \quad Z_{CM_R} = \sqrt{\frac{L_{M_R}}{C_{M_R}}}$$

Come impedenze caratteristiche e, come velocità di propagazione

$$c_{M_G} = \frac{1}{\sqrt{L_{M_G} C_{M_G}}}; \quad c_{M_R} = \frac{1}{\sqrt{L_{M_R} C_{M_R}}}$$



Circuito Equivalente

Questo lo possiamo implementare osservando che:

$$V_G(z, t) = T_{VG} V_{M_G} + T_{VGR} V_{M_R}$$

$$V_R(z, t) = T_{VRG} V_{M_G} + T_{VRR} V_{M_R}$$

Sono sorgenti di tensione controllate in tensione e che

$$I_{M_G}(z, t) = T_{IG}^{-1} I_{M_G} + T_{IGR}^{-1} I_{M_R}$$

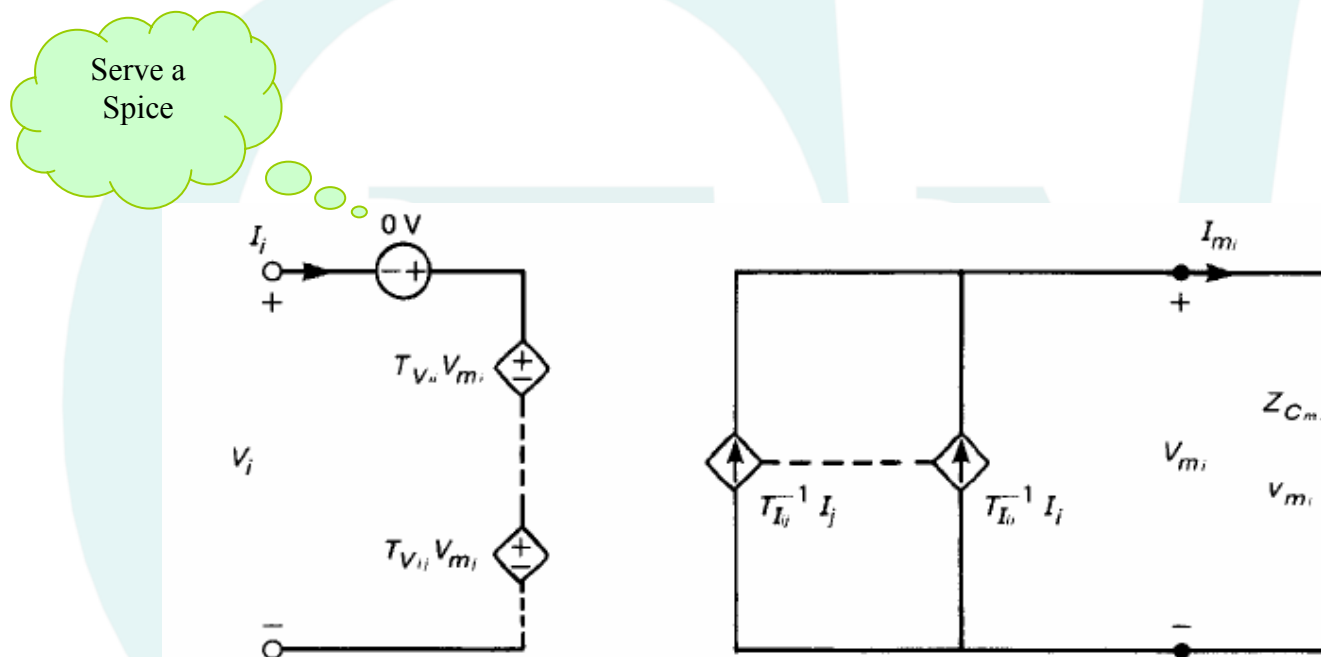
$$I_{M_R}(z, t) = T_{IRG}^{-1} I_{M_G} + T_{IRR}^{-1} I_{M_R}$$

Sono sorgenti di corrente controllate in corrente



Circuito Equivalente

In linea di principio, per UNA linea, il concetto di trasformazione da corrente e tensione nelle corrispondenti grandezze modali è:





Circuito Equivalente

Il modello completo prevede una doppia trasformazione con, interposta, una linea *disaccoppiata* di lunghezza L , quindi

$$V_{C1} = V_G(0, t) = T_{V_{GG}} V_{M_G}(0, t) + T_{V_{GR}} V_{M_R}(0, t)$$

$$V_{C2} = V_R(0, t) = T_{V_{RG}} V_{M_G}(0, t) + T_{V_{RR}} V_{M_R}(0, t)$$

$$V_{C3} = V_G(L, t) = T_{V_{GG}} V_{M_G}(L, t) + T_{V_{GR}} V_{M_R}(L, t)$$

$$V_{C4} = V_R(L, t) = T_{V_{RG}} V_{M_G}(L, t) + T_{V_{RR}} V_{M_R}(L, t)$$

$$I_{C1} = I_{M_G}(0, t) = T_{I_{GG}}^{-1} I_{M_G}(0, t) + T_{I_{GR}}^{-1} I_{M_R}(0, t)$$

$$I_{C2} = I_{M_R}(0, t) = T_{I_{RG}}^{-1} I_{M_G}(0, t) + T_{I_{RR}}^{-1} I_{M_R}(0, t)$$

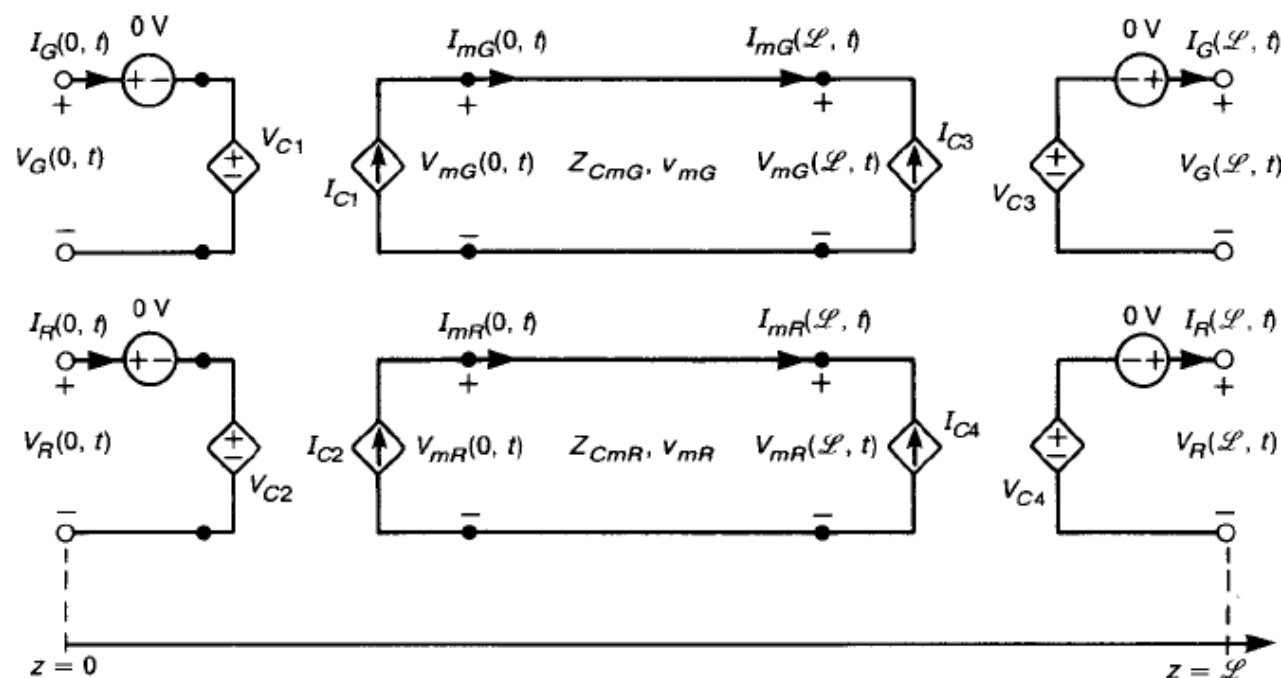
$$I_{C3} = I_{M_G}(L, t) = T_{I_{GG}}^{-1} I_{M_G}(L, t) + T_{I_{GR}}^{-1} I_{M_R}(L, t)$$

$$I_{C4} = I_{M_R}(L, t) = T_{I_{RG}}^{-1} I_{M_G}(L, t) + T_{I_{RR}}^{-1} I_{M_R}(L, t)$$



Circuito Equivalente

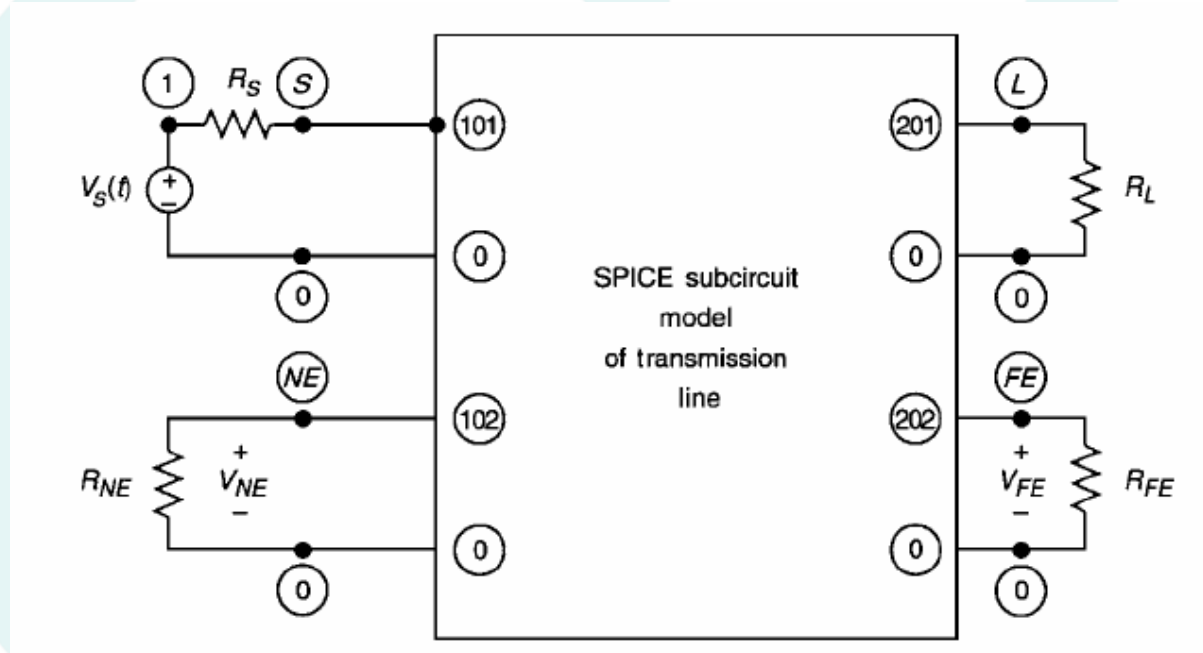
Il circuito





Circuito Equivalente

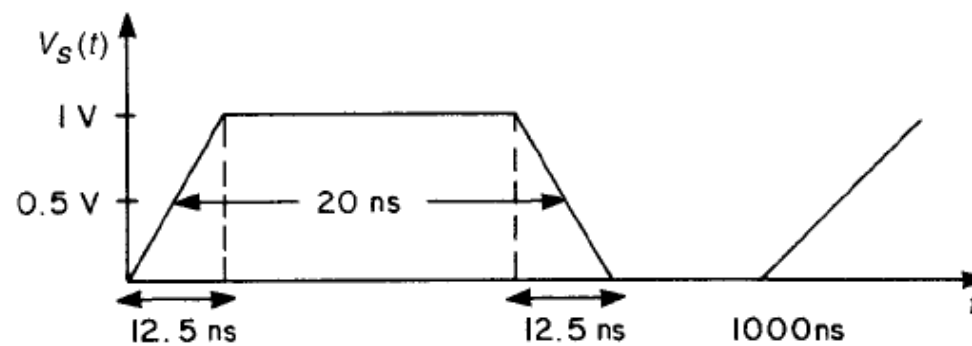
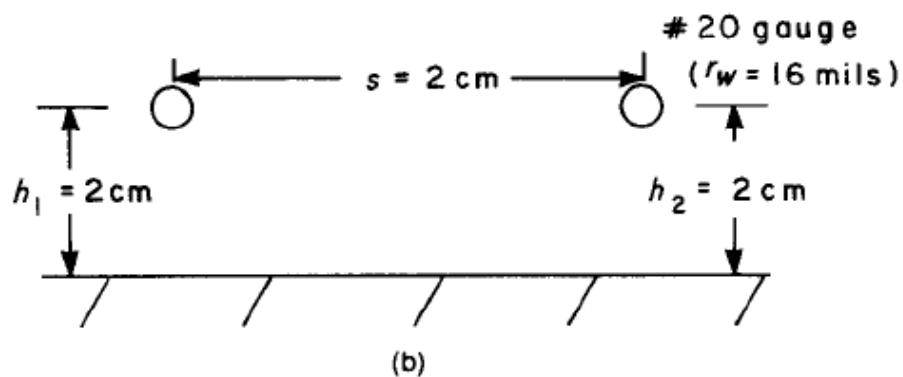
Questo può essere implementato (in SPICE) come un unico sottocircuito





Circuito Equivalente

Prendiamo una coppia di fili su piano di massa





Circuito Equivalente

I parametri per la coppia di fili sono stati calcolati in precedenza:

$$\mathbf{L} = \begin{bmatrix} 9.18 & 1.61 \\ 1.61 & 9.18 \end{bmatrix} \times 10^{-7} \text{ Hm}^{-1}; \quad \mathbf{C} = \begin{bmatrix} 12.5 & -2.19 \\ -2.19 & 12.5 \end{bmatrix} \times 10^{-12} \text{ Fm}^{-1}$$

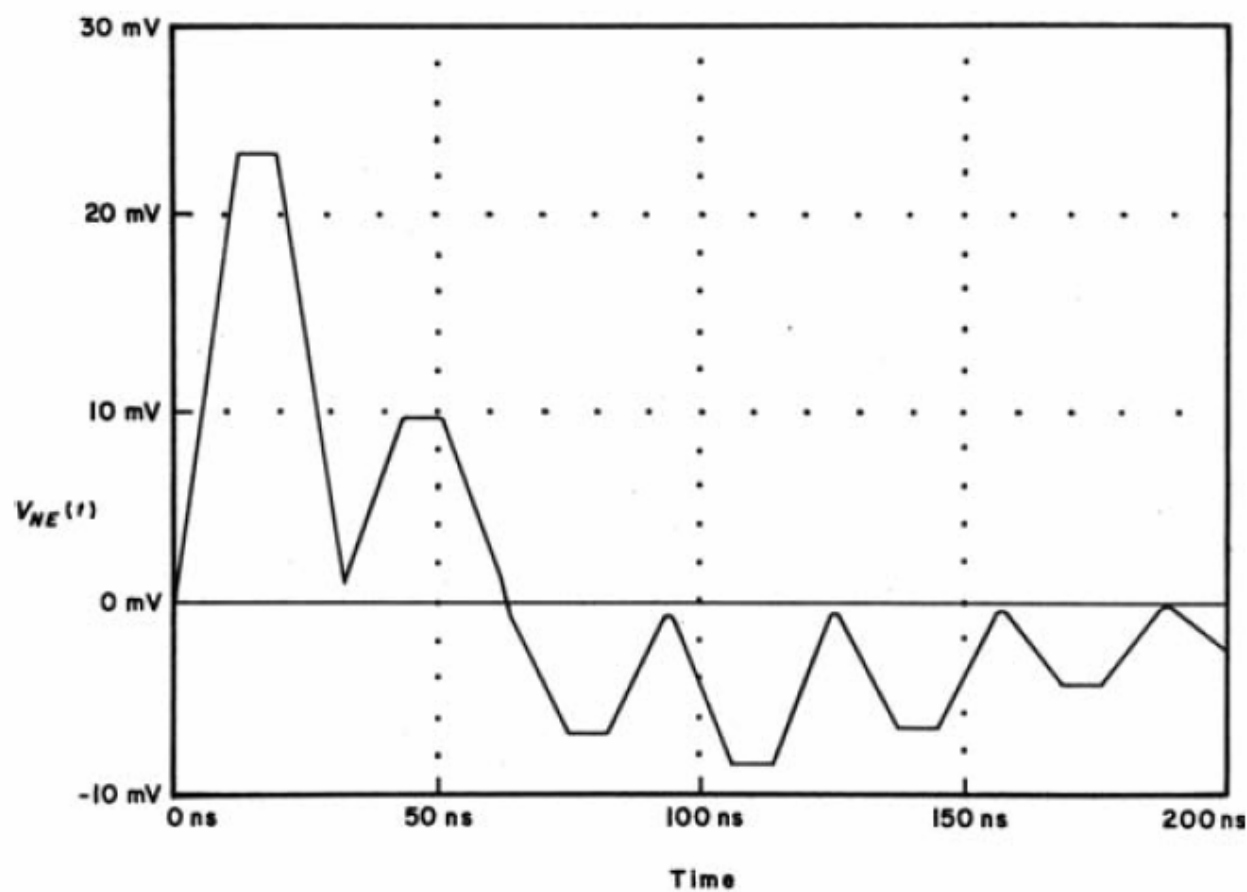
Il ritardo sulla linea è lo stesso per entrambi i modi (la linea è di 4.674m) e vale

$$T_D = \frac{L}{c} = 15.6 \text{ ns}$$



Circuito Equivalente

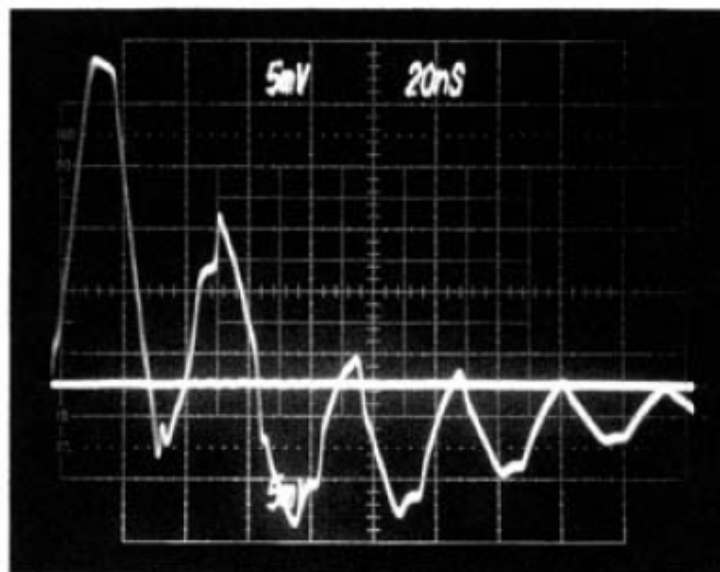
La risposta temporale calcolata è





Circuito Equivalente

Il misurato è



L'accordo non è male, considerato che la linea NON è corta per i tempi di salita e discesa considerati!!



Circuito Equivalente

Lo spettro...

